



Evaluation of Zn[Mn]-Al LDHs as Matrices for Release of B, Zn and Mn in A Simulated Soil Solution

H. Hatami^{1*}, A. Fotovat²

Received: 31-10-2021

Revised: 13-12-2021

Accepted: 18-12-2022

Available Online: 22-02-2023

How to cite this article:

Hatami, H., & Fotovat, A. (2023). Evaluation of Zn[Mn]-Al LDHs as Matrices for Release of B, Zn and Mn in A Simulated Soil Solution. *Journal of Water and Soil* 36(6): 761-771. (In Persian with English abstract)

DOI: [10.22067/jsw.2022.73093.1109](https://doi.org/10.22067/jsw.2022.73093.1109)

Introduction

Boron (B) has a dual effect on living systems, so that the concentration range within which B is changed from a nutrient to a pollutant is rather narrow. Although B plays essential roles in all living organisms, its long-term excessive uptake has adverse effects on either human beings or plants and animals. Furthermore, part of the B that can be used as fertilizer is highly soluble and easily leached into the soil profile leading to some problems such as decrease of fertilizer efficiency. Therefore, to improve agricultural productivity through its gradual uptake by plants, the increase of B adsorption in the soil solution is necessary. Many adsorbents have been used for the adsorption of B from aqueous solutions; however, layered double hydroxides (LDHs) have been considered as one of the most effective adsorbents as well as slow releaser fertilizers of inorganic anions such as nitrate, phosphate, etc. The formula of LDHs are typically denoted as $[M_1-x M_2 M_3 (OH)_2]_{x+} (An^-)_{x/n} \cdot n(H_2O)$, where M_2^+ and M_3^+ are divalent and trivalent cations, respectively, the significance of x is the molar ratio of $M_3^+/(M_3^+ + M_2^+)$ and An^- is the intercalated anion. Although LDH materials are commonly prepared by combining two divalent and trivalent metals, more metals can be introduced in the brucite layer to achieve a large variety of composition and higher adsorption capacity. Stability of LDHs in soil can be affected by numerous factors (e.g. low molecular weight organic acids (LMWOAs)) leading to release of structural cations in addition to interlayer anion. However, there are scarce investigations that have evaluated the potential of ternary LDHs (e.g. Zn-Mn-Al LDH) in desorption of B (as interlayer anion) and release of Zn and Mn (as structural anions) in a simulated soil solution. Therefore, the objectives of this study were, i) to compare the desorption of B capacity of binary LDH (Zn-Al LDH) and ternary LDH (Zn-Mn-Al LDH) in the simulated soil solution, and ii) to investigate the effect of three different electrolytes (potassium nitrate, oxalic acid, and citric acid) on the release of Zn and Mn from synthesized LDHs.

Materials and methods

A modified urea hydrolysis method was employed to synthesize Zn-Al and Mn-substituted Zn-Al LDHs with Zn(+Mn)/Al molar ratio of 2. Herein the contents of Mn with respect to Zn corresponded to 2% and 10% molar ratio. Accordingly, the synthesized materials denoted as Zn-Al, Zn-Mn₁ and Zn-Mn₂ for the samples without Mn, with 2 and 10 mol% Mn with respect to Zn content. For investigation of B desorption at a concentration of 10 mM, 15 mL from equilibrium solutions were substituted with 15 mL of 0.03 M KNO₃ and shaken for 240 min. Substitution was repeated four times and A modified urea hydrolysis method was employed to synthesize Zn-Al and Mn-substituted Zn-Al LDHs with Zn (+Mn)/Al molar ratio of 2. Herein the contents of Mn with respect to Zn corresponded to 2% and 10% molar ratio. Accordingly, the synthesized materials denoted as Zn-Al, Zn-Mn₁ and Zn-Mn₂ for the samples without Mn, with 2 and 10 mol% Mn with respect to Zn content. For investigation of B desorption at a concentration of 10 mM, 15 mL from equilibrium solutions were substituted with 15 mL of 0.03 M KNO₃ and shaken for 240 min. Substitution was repeated four times and

1- Assistant Professor, National Salinity Research Center (NSRC), Agricultural Research, Education and Extension Organization (AREEO), Yazd, Iran

(*- Corresponding Author Email: h.hatami@areeo.ac.ir)

2- Professor, Department of Soil Science, Faculty of Agriculture, Ferdowsi University of Mashhad, Mashhad, Iran

B concentrations in extracts were measured by Azomethine-H method. Furthermore, the supernatant Zn and Mn concentrations were determined by GF-AAS (PG 900). This process was repeated for 1.25 mM oxalic acid and 1.25 mM citric acid to study the effect of these compounds on B desorption as well as release of Zn and Mn. B concentrations in extracts were measured by Azomethine-H method. Furthermore, the supernatant Zn and Mn concentrations were determined by GF-AAS (PG 900). This process was repeated for 1.25 mM oxalic acid and 1.25 mM citric acid to study the effect of these compounds on B desorption as well as release of Zn and Mn.

Results and Discussion

The adsorption and desorption isotherm were carried out to describe the distribution of B between the liquid and adsorbent. The isotherm data of synthesized LDHs were matched with Freundlich model. The values of $1/n$ in this model were found between 0 and 1 for all LDHs indicating favorable sorption of B on these compounds. The highest adsorption was observed for ternary LDHs (particularly Zn-Mn₂) due to their higher specific surface area and also due to the ion exchange mechanism in combination with surface adsorption. However, the results showed that the percentages of B desorption by potassium nitrate, oxalic acid and citric acid were lower for Zn-Mn₁ (19.4, 29.1 and 38.2%, respectively) and Zn-Mn₂ (18.6, 28.2 and 35.9 %, respectively) than Zn-Al (30.8, 41.2 and 46.2%, respectively). This observation suggests that the type of LDH, B adsorption mechanism and background electrolyte can affect the amount of B desorption. Furthermore, after 4 successive desorption cycles, the concentration of Zn and Mn increased in the supernatants (particularly in organic acid electrolytes) suggesting dissolution mechanism possibility happened for the studied LDHs. Among the background electrolytes, citric acid was the most effective compound in releasing Zn and Mn, followed by oxalic acid and potassium nitrate. A reason for this such observations could be that with respect to chemical structure, citric acid by three carboxyl groups can form more chelate rings compared to oxalic acid, which contain two carboxyl groups. Therefore, it seems that B containing Zn-Mn-Al LDH may have potential to be used as a slow release fertilizer in soils to supply three essential elements, including B, Zn and Mn simultaneously. However, further studies are required to support such a hypothesis.

Keywords: Adsorption-desorption isotherms, Boron, Layered double hydroxides, Organic acids

مقاله پژوهشی

جلد ۳۶، شماره ۶، بهمن-اسفند ۱۴۰۱، ص. ۷۶۱-۷۷۱

امکان‌سنجی کاربرد Zn[Mn]-Al LDHs به عنوان ماتریکسی برای رهاسازی B، Zn و Mn در محیط شبیه‌سازی شده محلول خاک

حدیث حاتمی^{۱*} - امیر فتوت^۲

تاریخ دریافت: ۱۴۰۱/۰۸/۰۹

تاریخ پذیرش: ۱۴۰۱/۰۹/۲۷

چکیده

این پژوهش با هدف بررسی تاثیر نوع هیدروکسید مضاعف لایه‌ای (LDH) و نوع محلول زمینه بر واجذب B در محیط شبیه‌سازی شده محلول خاک و نیز رهاسازی کاتیون‌های ساختاری (Mn و Zn) در این محیط انجام شد. بدین منظور ابتدا هم‌دماهای جذب B در محلول ۰/۰۳ مولار نیترات پتاسیم حاوی غلظت‌های ۰/۲۵ تا ۱۰ میلی‌مولار B برای سه ترکیب Zn-Al LDH، Zn-Mn₁-Al LDH و Zn-Mn₂-Al LDH (نسبت مولی) و Zn-Mn₂-Al LDH (نسبت مولی) برابر با ۰/۱ (به اختصار به ترتیب Zn-Al، Zn-Mn₁ و Zn-Mn₂) بررسی شد. سپس واجذب B از این ترکیبات در بیش‌ترین غلظت و تحت تاثیر محلول‌های ۰/۰۳ مولار نیترات پتاسیم، ۱/۲۵ میلی‌مولار اسید اگزالیک و ۱/۲۵ میلی‌مولار اسید سیتریک اندازه‌گیری شد. همچنین غلظت کاتیون‌های Zn و Mn در محلول واجذب تعیین گردید. بر اساس نتایج، داده‌های جذب و واجذب B در تمام LDHs برآزش خوبی با معادله فرندلیچ نشان دادند. علاوه بر این، تاثیر کاربرد LDHs سه‌تایی بر میزان جذب و واجذب B معنی‌دار بود. بدین صورت که Zn-Mn₁ و Zn-Mn₂ در مقایسه با Zn-Al دارای جذب بیشتر (۰/۴۶-۰/۵۷ میلی‌مول بر گرم) و واجذب کمتری در هر سه محلول زمینه (۳۸/۲-۱۸/۶ درصد) بودند. این امر می‌تواند به متفاوت بودن مکانیسم جذب B در LDHs سنتز شده نسبت داده شود. اسیدهای آلی به دلیل ایجاد کی‌لیت با کاتیون‌های ساختاری LDHs و افزایش احتمال انحلال آن، سبب افزایش واجذب B و همچنین رهاسازی Zn و Mn در مقایسه با نیترات پتاسیم گردید. با توجه به رهاسازی آهسته B و همچنین Zn و Mn در شرایط شبیه‌سازی شده محلول خاک، ممکن است LDHs قادر به تامین این سه عنصر غذایی برای گیاهان باشند که بررسی آن نیازمند مطالعه در شرایط واقعی خاک و در حضور گیاه می‌باشد.

واژه‌های کلیدی: اسیدهای آلی، ایزوترم‌های جذب-واجذب، بور، هیدروکسید مضاعف لایه‌ای

مقدمه

بور (B) به عنوان یکی از عناصر کم‌مصرف مورد نیاز گیاه دارای

اثراتی دوگانه بر موجودات زنده می‌باشد. بدین معنی که به‌رغم نقش‌های مهم و متعدد این عنصر در فرایند رشد گیاه (مانند متابولیسم کربوهیدرات‌ها، انتقال قندها و فعالیت هورمون‌ها)، به علت نزدیکی محدوده کمبود و بیش‌بود عنصر B، این عنصر غذایی به سرعت از یک عنصر ضروری به سمی تبدیل شده و موجب بروز اثرات سوئی بر گیاهان، حیوانات و انسان‌ها می‌گردد (Cao and Guo, 2013). علاوه بر این، با توجه به حلالیت بالای کودهای حاوی B، بخشی از کود مصرفی به دلیل آب‌شویی از دسترس گیاه خارج می‌شود که این امر سبب کاهش کارایی مصرف کود، بروز مشکلات زیست محیطی و افزایش شوری خاک می‌شود. بنابراین، در چنین شرایطی مدیریت

۱- استادیار پژوهشی، مرکز ملی تحقیقات شوری، سازمان تحقیقات، آموزش و ترویج کشاورزی، یزد، ایران

*- نویسنده مسئول: (Email: h.hatami@areeo.ac.ir)

۲- استاد، گروه علوم خاک، دانشکده کشاورزی، دانشگاه فردوسی مشهد، مشهد، ایران

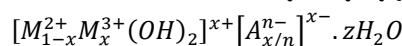
DOI: 10.22067/jsw.2022.73093.1109

Mg- (López-Rayó *et al.*, 2017; Jiang *et al.*, 2007) LDH Ca-Al و (Guo *et al.*, 2013; Ay *et al.*, 2011) LDH (Ay *et al.*, 2007) LDH می‌باشد. با این وجود مطالعاتی وجود دارد که نشان می‌دهد LDHs قادر به رهاسازی آهسته آنیون بین لایه‌ای جذب شده (مانند فسفات) هم در محیط آبی (Hatami *et al.*, 2018; Novillo *et al.*, 2014; Woo *et al.*, 2011; Benício *et al.*, 2017; Everaert Azimzadeh *et al.*, 2021) و هم در سیستم خاک (et *al.*, 2016; Hatami *et al.*, 2021) می‌باشند. به عبارت دیگر این ترکیبات علاوه بر جذب آنیون، قادر به واجذب تدریجی آن نیز بوده و به همین دلیل از LDHs به عنوان نسل جدیدی از کودهای کندرها^۳ نام برده می‌شود. در این زمینه مطالعاتی نیز در ارتباط با رهاسازی B از LDHs صورت گرفته است (Castro *et al.*, 2018; Songkhum *et al.*, 2018).

علاوه بر آنیون بین لایه‌ای، خروج و رهاسازی کاتیون Zn کاربرد خاکی ترکیب Mg-Zn-Al LDH توسط لویز-رایو و همکاران (López-Rayó *et al.*, 2017) گزارش شده است. همچنین در مطالعه‌ای دیگر حاتمی و همکاران (Hatami *et al.*, 2021) نشان دادند افزودن Zn-Al LDH به یک خاک آهکی علاوه بر تامین تدریجی P، در تامین Zn مورد نیاز گیاه ذرت نیز نقش آفرین بود. نتایج این مطالعات پیشنهاد دهنده این نکته است که با توجه به پیچیده بودن محیط خاک و حضور برخی ترکیبات در خاک، احتمالاً LDHs تحت تاثیر مکانیسم حلالیت قرار می‌گیرند و به همین دلیل بخشی از کاتیون‌های ساختاری آزاد می‌شود. اسیدهای آلی با وزن مولکولی کم یا به اصطلاح LMWOAs^۴ یکی از فاکتورهایی است که می‌تواند پایداری LDHs را در سیستم خاک تحت تاثیر قرار دهد. این ترکیبات توسط میکروارگانیزم‌های خاک، ریشه گیاهان و همچنین در طی تجزیه مواد آلی خاک تولید می‌شوند و به صورت طبیعی در خاک یافت می‌شوند (Essington, 2004). بنابراین با توجه به مطالب عنوان شده این سوال مطرح می‌شود که در صورت کاربرد LDH سه تایی مانند Zn-Mn-Al LDH که دارای دو عنصر غذایی کم‌مصرف مورد نیاز گیاه در ترکیب ساختاری خود می‌باشد، نحوه رفتار این ترکیب در آزادسازی این عناصر تحت تاثیر قدرت یونی محلول خاک و اسیدهای آلی چگونه است. با توجه به این که نتایج مطالعه قبلی حاکی از موفقیت Zn-Mn-Al LDH در جذب B در محیط شبیه-سازی شده محلول خاک بود (Hatami *et al.*, 2020) و از طرف دیگر از آن جایی که مطالعات محدودی درباره آزادسازی B جذب شده توسط LDHs در شرایط شبیه‌سازی شده و یا واقعی خاک صورت

استفاده از کودهای حاوی B دارای اهمیت دوچندان خواهد بود. یکی از راه‌کارهای پیشنهادی برای کاهش چنین مشکلاتی تامین آهسته و یا کنترل شده B در سیستم خاک با هدف کاهش آب‌شویی و یا افزایش جذب توسط گیاه می‌باشد. با توجه به ویژگی‌های ساختاری و نتایج تحقیقات منتشر شده به نظر می‌رسد که هیدروکسیدهای مضاعف لایه‌ای و یا به اختصار LDHs^۱ از جمله ترکیبات مناسب جهت کاربرد در این زمینه محسوب شوند.

LDHs گروهی از ترکیبات غیرسیلیکاتی دارای صفحات شبه بروسایت (Mg(OH)₂) با بار مثبت هستند که در آن کاتیون دو ظرفیتی در هشت وجهی توسط گروه‌های هیدروکسیل هم‌آرایی شده است. جانشینی هم‌شکل در این ورقه توسط کاتیون سه ظرفیتی انجام می‌شود و بار مثبت ایجاد شده با ورود آنیون بین لایه‌ای خنثی می‌گردد (Goh *et al.*, 2008). بر این اساس فرمول عمومی LDHs را می‌توان به صورت زیر تعریف کرد:



در این فرمول، M²⁺ و M³⁺ بیانگر کاتیون‌های دو ظرفیتی (کلسیم، منیزیم، روی و غیره) و سه ظرفیتی (آهن، آلومینیوم و غیره) می‌باشند و Aⁿ⁻ آنیون بین لایه‌ای با n بار منفی است. X نیز عبارتست از نسبت (M²⁺+M³⁺)/M³⁺. با توجه به فرمول ساختاری مشخص است که می‌توان با تغییر نوع و نسبت کاتیون دو و سه ظرفیتی و همچنین نوع آنیون بین لایه‌ای طیف وسیعی از LDHs با ویژگی‌های جذبی متفاوت سنتز نمود. علاوه بر این برخی مطالعات گزارش کرده‌اند که امکان ساخت LDHs با بیش از دو کاتیون دو و سه ظرفیتی (عمدتاً سه کاتیون که LDHs سه‌تایی^۲ نامیده می‌شوند) نیز وجود دارد (Chitrakar *et al.*, 2010). این امکان افزون بر افزایش تنوع LDHs ساخته شده، بر اساس نتایج برخی تحقیقات موجب بهبود ظرفیت جذب LDHs سه‌تایی در مقایسه با دو تایی نیز شده است. به عنوان مثال، بهارالی و دکا (Bharali and Deca, 2017) نشان دادند که حضور کاتیون Cu²⁺ در ساختار Mg-Cu-Al LDH موجب افزایش جذب آلاینده‌های آلی آنیونی در مقایسه با ترکیب LDH Mg-Al گریده است. از این رو به نظر می‌رسد که ساخت LDHs سه‌تایی یکی از راه‌کارهای افزایش ظرفیت جذب این دسته از ترکیبات سنتزی می‌باشد.

به طور کلی بخش وسیعی از تحقیقات انجام شده در زمینه کاربرد LDHs در حوزه زیست‌محیطی مربوط به جذب و یا حذف آنیون‌ها (آلی و یا معدنی) از سیستم‌های آبی توسط این ترکیبات می‌باشد. در این حوزه مطالعات بسیاری نیز حاکی از جذب B توسط Zn-Al

3- Slow (Controlled) release fertilizer
4- Low molecular weight organic acids

1- Layered Double Hydroxides
2- Ternary LDHs

۲۴۰ دقیقه (معادل با زمان تعادل به دست آمده در مطالعه سینتیک جذب B توسط این ترکیبات (Hatami et al., 2020) در ۲۰۰ دور در دقیقه و در دمای ۲۵ درجه سانتی‌گراد، غلظت B باقی‌مانده در محیط با استفاده از روش Azomethine-H تعیین گردید (López-Rayó et al., 2017). از کسر غلظت اولیه و غلظت باقی‌مانده، مقدار جذب B توسط هر یک از ترکیبات مورد مطالعه محاسبه شد. داده‌های به دست آمده توسط مدل‌های لانگ‌مویر و فرن‌دلیچ برازش داده شد. فرم ریاضی این معادلات و پارامترهای آن‌ها در جدول ۱ نمایش داده شده است. لازم به ذکر است که انتخاب بهترین مدل برازش داده شده با توجه به ضریب تعیین (R^2) و ریشه دوم میانگین مربعات خطا (RMSE) انجام شد که فرمول محاسبه RMSE در ذیل آورده شده است (Zhang and Selim, 2005):

$$RMSE = [(\sum(q_t - q_t^*))^2 / (n-p)]^{0.5}$$

در این معادله q_t و q_t^* به ترتیب مقدار B اندازه‌گیری شده و برآورد شده در زمان t ، تعداد اندازه‌گیری‌ها و p تعداد پارامترهای برازش شده می‌باشند.

به منظور بررسی هم‌دماهای واجذب، محلول با غلظت اولیه ۱۰ میلی‌مولار B مورد استفاده قرار گرفت. به این صورت که بعد از جذب B در این محلول، ۱۵ میلی‌لیتر از محلول رویی پس از سانتی‌فیوژ شدن، خارج و به جای آن ۱۵ میلی‌لیتر محلول ۰/۰۳ مولار نیترات پتاسیم به نمونه اضافه شد. این نمونه مجدداً به مدت ۲۴۰ دقیقه تکان داده شد و سانتی‌فیوژ گردید. مراحل سانتی‌فیوژ و جایگزینی محلول خارج شده با نیترات پتاسیم در مجموع ۴ مرتبه انجام شد و در هر چرخه غلظت B جذب شده و تعادلی تعیین گردید. علاوه بر غلظت B، غلظت فلزات Zn و Mn نیز توسط روش جذب اتمی (PG 900) اندازه‌گیری شد. به جهت بررسی تاثیر اسیدهای آلی اگزالیک و سیتریک بر میزان واجذب B، Zn و Mn تمام مراحل فوق در شرایط مشابه انجام شد با این تفاوت که در هر چرخه از ۱۵ میلی‌لیتر محلول ۱/۲۵ میلی‌مولار اسید اگزالیک (یا اسید سیتریک) به جای نیترات پتاسیم استفاده شد. در این نمونه‌ها نیز غلظت B و غلظت فلزات Zn و Mn مطابق روش‌های ذکر شده اندازه‌گیری شد. داده‌های حاصل از واجذب توسط مدل‌های لانگ‌مویر و فرن‌دلیچ (جدول ۱) برازش داده شدند و ضرایب مورد نظر تعیین گردید. همچنین نرم‌افزار Excel 2016 برای رسم نمودارها مورد استفاده قرار گرفت.

گرفته است بنابراین، مطالعه‌ای جامع در این زمینه ضروری است. در این راستا پژوهش حاضر با هدف بررسی تاثیر سه ترکیب Zn-Al LDH، Zn-Mn₁-Al LDH (Mn/Zn برابر با ۲ درصد نسبت مولی) و Zn-Mn₂-Al LDH (Mn/Zn برابر با ۱۰ درصد نسبت مولی) در آزادسازی B و کاتیون‌های ساختاری (Zn و Mn) در محیط شبیه-سازی شده محلول خاک و تحت تاثیر اسیدهای آلی اگزالیک و سیتریک انجام شد.

مواد و روش‌ها

برای ساخت سه ترکیب Zn-Al LDH، Zn-Mn₁-Al LDH و Zn-Mn₂-Al LDH (نسبت مولی) و (Mn/Zn برابر با ۰/۰۲ نسبت مولی) و (Mn/Zn برابر با ۰/۱ نسبت مولی) با آیون بین لایه‌ای نیترات و نسبت کاتیون دو به سه ظرفیتی ۲ به ۱ از روش هیدرولیز اوره^۱ استفاده شد (Inayat et al., 2011). مراحل کلی سنتز هر یک از ترکیبات به این صورت بود که پس از حل شدن نمک‌های نیترات آلومینیوم (۰/۱۶۵ مولار)، نیترات روی و نیترات منگنز (بسته به نوع LDH: ۰/۳۳۵ مولار نیترات روی و یا ۰/۳۳۵ مولار نیترات روی + نیترات منگنز) در محلول یک مولار نیترات آمونیوم، به این محلول اوره با غلظت ۱/۶۵ مولار اضافه شد. سپس این محلول در دمای ۹۰ درجه سلسیوس و در شرایط هم زدن دائم به مدت ۲۴ ساعت نگهداری شد. رسوبات سفید تشکیل شده پس از چندین بار شست و شو با آب مقطر، در آون در دمای ۷۰ درجه سلسیوس خشک شدند. در نهایت رسوبات خشک شده در هاون خرد شدند و ذرات عبور داده شده از الک مش ۵۰ در آزمایش مورد استفاده قرار گرفتند. همچنین ساختار بلوری و گروه‌های عاملی سه ترکیب Zn-Al LDH، Zn-Mn₁-Al LDH و Zn-Mn₂-Al LDH سنتز شده که به ترتیب به اختصار LDH و Zn-Mn₂-Al LDH نامگذاری شدند توسط آنالیزهای XRD^۲ و FTIR^۳ مورد مطالعه قرار گرفت که نتایج آن در مطالعه قبلی (Hatami et al., 2020) گزارش شده است.

پس از حصول اطمینان از سنتز موفقیت‌آمیز این ترکیبات، به منظور مقایسه ترکیبات Zn-Al، Zn-Mn₁، Zn-Mn₂ در جذب و واجذب B، هم‌دماهای جذب و واجذب این ترکیبات در محیط شبیه‌سازی شده محلول خاک مورد مطالعه قرار گرفت. برای بررسی هم-دماهای جذب ۲۰ میلی‌لیتر از محلول ۰/۰۳ مولار نیترات پتاسیم حاوی غلظت‌های ۰/۲۵ تا ۱۰ میلی‌مولار B از منبع H₃BO₃ در pH = ۷ به ۱۰۰ میلی‌گرم جاذب افزوده شد و بعد از تکان دادن به مدت

- 1- Urea hydrolysis
- 2- X-Ray Diffraction
- 3- Fourier Transform Infrared spectroscopy

4- Root mean squared error

جدول ۱- فرم ریاضی و پارامترهای معادلات لانگمویر و فرندلیچ

Table 1- Mathematical forms and parameters of the Langmuir and Freundlich equations

معادلات Equations	فرم ریاضی معادلات Mathematical forms of equations	پارامترهای معادلات Parameters of equations
لانگمویر (Langmuir)	$\text{Log}(q_e) = \log(k_F) + 1/n$ $\log(C_e)$	q_e و C_e به ترتیب مقدار B جذب شده در واحد جرم جاذب و غلظت تعادلی B (q_e and C_e the amounts of B adsorbed per unit mass of adsorbent and equilibrium concentration of B, respectively)
فرندلیچ (Freundlich)	$C_e/q_e = C_e/b + 1/(k_L \times b)$	k_L و k_F و $1/n$ ثابت‌های معادلات، b حداکثر ظرفیت جذب (k_L , k_F and $1/n$ equations constants, b maximum adsorption capacity)

نتایج و بحث

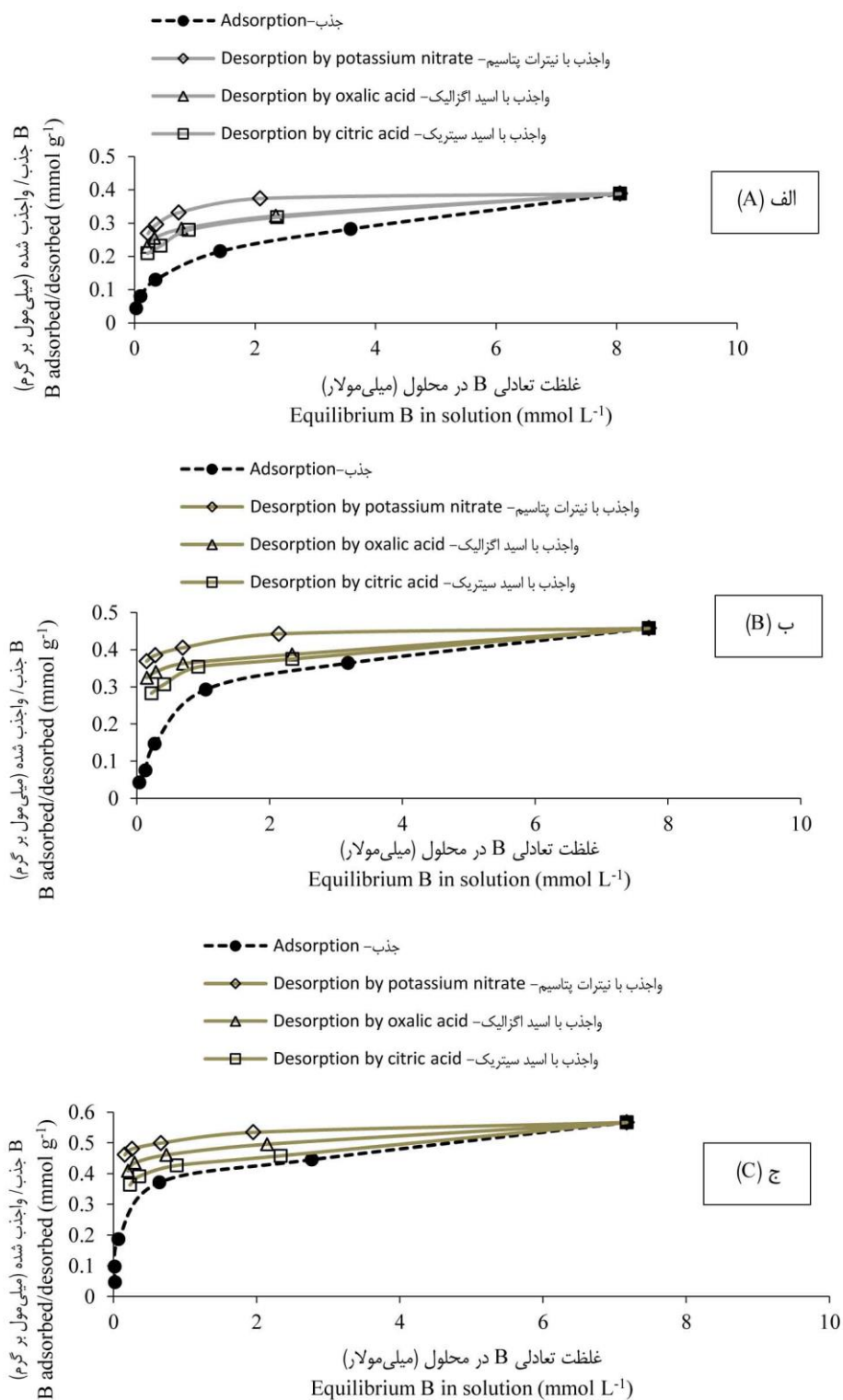
هم‌دمای جذب توصیف کننده مقدار جذب یک ماده توسط یک جاذب در دمای ثابت است. در پژوهش حاضر این پارامتر برای B در دمای ۲۵ درجه سانتی‌گراد، قدرت یونی ۰/۰۳ مولار نیترات پتاسیم و غلظت اولیه‌های ۰/۲۵ تا ۱۰ میلی‌مولار در $\text{pH} = 7$ مورد مطالعه قرار گرفت. نتایج این بررسی نشان داد که مقدار جذب در Zn-Al، Zn-Mn₁ و Zn-Mn₂ با افزایش غلظت B افزایش یافته و به ترتیب به $(\pm 0.03)/0.39$ ، $(\pm 0.04)/0.46$ و $(\pm 0.03)/0.57$ میلی‌مول بر گرم رسید (شکل ۱). اما درصد جذب با افزایش غلظت به ترتیب در Zn-Al، Zn-Mn₁ و Zn-Mn₂ از ۸۶/۷، ۸۴/۸ و ۹۱ درصد به ۱۹/۴، ۲۲/۹ و ۲۸/۳ درصد کاهش یافت که احتمالاً به دلیل کاهش یا اشباع شدن مکان‌های جذبی است که منجر به کاهش تمایل جذب در غلظت‌های بالا می‌گردد. علاوه بر این، همان‌گونه که نتایج نشان می‌دهد LDHs سه‌تایی (به ویژه Zn-Mn₂) در مقایسه با Zn-Al قادر به جذب B بیشتری در محیط بازسازی شده محلول خاک بودند که دلایل آن در مطالعه قبلی (Hatami et al., 2020) بزرگ‌تر بودن سطح ویژه (به ترتیب ۱۰/۱، ۱۱/۳ و ۲۱/۲ متر مربع بر گرم در Zn-Al، Zn-Mn₁ و Zn-Mn₂) و همچنین وقوع همزمان دو مکانسیم تبادل یونی و جذب سطحی (به دلیل کاهش d_{003} در الگوی XRD این ترکیبات پس از جذب B) در LDHs سه‌تایی عنوان شده است. همچنین این محققین بر اساس نتایج XRD بیان کردند که احتمال وقوع مکانسیم تبادل یونی در ترکیب Zn-Al اندک بوده (به دلیل عدم تغییر d_{003} در الگوی XRD این ترکیب پس از جذب B) و جذب سطحی مکانسیم غالب این ترکیب می‌باشد. بنابراین، به نظر می‌رسد که سنتز LDHs سه‌تایی می‌تواند از جمله راه‌کارهای افزایش ظرفیت جذب این ترکیبات محسوب شود.

نتایج برآزش داده‌های هم‌دمای جذب B با مدل‌های لانگمویر و فرندلیچ برای هر سه ترکیب مورد مطالعه در جدول ۲ نشان داده شده است. مقادیر بالای R^2 و پایین RMSE نشان‌دهنده برآزش خوب داده‌های جذب به معادله فرندلیچ بود که بیانگر جذب B در سطوح ناهمگن LDHs است. ضریب $1/n$ در مدل فرندلیچ نشان‌دهنده

قدرت جذب می‌باشد و چنانچه $0 < 1/n < 1$ باشد بیانگر شرایط مطلوب فرآیند جذب است (Jiang et al., Delazare et al., 2014). در این پژوهش مقادیر $1/n$ برای LDHs بین ۰/۳۸۷ تا ۰/۴۳۲ برآورد گردید (جدول ۲). لذا، شرایط جذب B مطلوب بوده است. برآزش داده‌های جذب B به معادله فرندلیچ توسط فریرا و همکاران (Ferreira et al., 2006) کامدا و همکاران (Kameda et al., 2015) گائو و همکاران (Gao et al., 2017) نیز گزارش شده است.

وا جذب B از LDHs ساخته شده در محلول ۰/۰۳ مولار نیترات پتاسیم، ۱/۲۵ میلی‌مولار اسید اگزالیک و ۱/۲۵ میلی‌مولار اسید سیتریک حاوی غلظت ۱۰ میلی‌مولار B، به تفکیک در شکل ۱ نشان داده شده است. درصد وا جذب B در Zn-Al، Zn-Mn₁ و Zn-Mn₂ پس از ۴ چرخه وا جذب به ترتیب ۳۰/۸، ۱۹/۴ و ۱۸/۶ برای نیترات پتاسیم، ۴۱/۲، ۲۹/۱ و ۲۸/۲ برای اسید اگزالیک و ۴۶/۲، ۳۸/۲ و ۳۵/۹ برای اسید سیتریک تعیین شد. این نتایج نشان داد که درصد وا جذب در LDHs مورد مطالعه بسته به دو یا سه تایی بودن آن و همچنین نوع محلول زمینه متفاوت است. با توجه به این که نتایج آنالیز XRD نمونه‌ها پس از جذب B در مطالعه قبلی (Hatami et al., 2020) حاکی از کاهش درجه بلوری در ترکیبات Zn-Mn₁ و Zn-Mn₂ بود (به دلیل وقوع مکانسیم تبادل یونی) انتظار می‌رفت که این دو ترکیب درصد وا جذب B بیشتری نسبت به Zn-Al که پایداری درجه بلوری خود را حفظ کرده بود (به دلیل وقوع مکانسیم جذب سطحی) نشان دهند. اما برخلاف انتظار، Zn-Al دارای درصد وا جذب بیشتری در هر سه محلول زمینه بود. این نتیجه نشان می‌دهد که وا جذب B در LDHs به نوع مکانسیم جذب B و یا مکان حضور آنیون بستگی دارد (Goh et al., 2010) و وا جذب از مکان‌های سطحی سهل‌تر از فضای بین لایه‌ای صورت می‌گیرد.

همچنین نتایج پژوهش حاضر نشان داد که نوع محلول زمینه نیز در میزان B وا جذب شده اثرگذار بوده است، به نحوی که در هر سه ترکیب توالی میزان وا جذب به صورت نیترات پتاسیم > اسید اگزالیک > اسید سیتریک بود.



شکل ۱- هم‌دماهای جذب و واجذب B در (الف) Zn-Al، (ب) Zn-Mn₁، (ج) Zn-Mn₂ (قدرت یونی ۰/۰۳ مولار نیترات پتاسیم، pH = ۷، دمای ۲۵ درجه سانتی‌گراد، زمان تکان دادن ۲۴۰ دقیقه)

Figure 1- Equilibrium adsorption-desorption isotherms of B on (A) Zn-Al, (B) Zn-Mn₁ and (C) Zn-Mn₂ (I = 0.03 mol L⁻¹ KNO₃, pH = 7, t = 25 °C, shaking time = 240 min)

جدول ۲- مقادیر پارامترهای معادلات فرندلیچ و لانگمویر برای هم‌دمای جذب و واجذب B در LDHs مورد مطالعه

Table 2- The parameters of Freundlich and Langmuir isotherms for adsorption and desorption of B by the LDHs

LDH	لانگمویر Langmuir				فرندلیچ Freundlich			
	RMSE	R ²	B (mmol g ⁻¹)	K _L (Lmmol ⁻¹)	RMSE	R ²	1/n	K _F (mmol ^(1-1/n) g ⁻¹ L ^{1/n})
جذب								
Adsorption								
Zn-Al	1.365	0.97	0.40	1.31	0.034	0.99	0.387	0.47
Zn-Mn ₁ -Al	0.904	0.99	0.43	1.33	0.053	0.98	0.432	0.49
Zn-Mn ₂ -Al	0.602	0.99	0.55	1.78	0.059	0.98	0.426	0.56
واجذب در نیترات پتاسیم								
Desorption by potassium nitrate								
Zn-Al	0.038	0.99	0.39	8.37	0.024	0.91	0.103	0.62
Zn-Mn ₁ -Al	9.837	0.99	0.46	14.92	0.007	0.97	0.056	0.68
Zn-Mn ₂ -Al	7.227	0.98	0.57	13.26	0.003	0.99	0.053	0.75
واجذب در اسید اگزالیک								
Desorption by oxalic acid								
Zn-Al	0.476	0.99	0.40	3.45	0.010	0.99	0.139	0.58
Zn-Mn ₁ -Al	10.056	0.98	0.46	5.36	0.013	0.96	0.082	0.65
Zn-Mn ₂ -Al	7.446	0.99	0.58	6.08	0.008	0.98	0.086	0.72
واجذب در اسید سیتریک								
Desorption by citric acid								
Zn-Al	0.470	0.99	0.40	2.69	0.012	0.99	0.173	0.57
Zn-Mn ₁ -Al	10.159	0.99	0.47	3.39	0.012	0.98	0.132	0.63
Zn-Mn ₂ -Al	7.537	0.99	0.58	3.45	0.015	0.97	0.120	0.70

(Castro *et al.*, 2018) نیز اشاره شده است. این محققین نشان دادند که الگوی رهاسازی B در نمونه Mg-Al-B LDH در طی زمان همواره کندتر از H₃BO₃ بود که گواه بر پایداری LDH در خاک مورد مطالعه بود. در این زمینه نتایج مشابهی نیز برای Zn-Al-B LDH سنتز شده به روش هم‌رسوبی توسط سونگکم و همکاران (Songkhum *et al.*, 2018) گزارش شده است.

به منظور بررسی تاثیر شرایط شیب‌سازی شده محلول خاک (قدرت یونی و دو اسید آلی متداول) بر رهاسازی احتمالی کاتیون‌های ساختاری Zn و Mn موجود در LDHs مورد مطالعه، غلظت این عناصر در طی چرخه‌های واجذب اندازه‌گیری گردید. بر اساس نتایج به دست آمده مقدار Zn آزاد شده از Zn-Al، Zn-Mn₁ و Zn-Mn₂ به ترتیب در نبود اسیدهای آلی برابر با ۰/۳۸، ۰/۳۶ و ۰/۳۴ میلی‌مول بر گرم، در حضور اسید اگزالیک برابر با ۰/۴۷، ۰/۴۵ و ۰/۴۳ میلی‌مول بر گرم و در حضور اسید سیتریک برابر با ۰/۵۵، ۰/۵۶ و ۰/۵۳ میلی‌مول بر گرم بود (شکل ۲-الف). همچنین مقادیر رهاسازی Mn در نمونه‌های Zn-Mn₁ و Zn-Mn₂ تحت تاثیر نیترات پتاسیم، اسید اگزالیک و اسید سیتریک به ترتیب برابر با ۰/۰۴، ۰/۰۸ و ۰/۱ میکرومول بر گرم به دست آمد (شکل ۲-ب). بنابراین، رهاسازی Zn و Mn مشخص کرد که احتمالاً بخشی از ساختمان LDHs دچار انحلال شده است چرا که کاتیون‌های ساختاری تنها در صورت حل پذیری LDHs می‌توانند در محلول حاصل از واجذب حضور داشته باشند. در مطالعه‌ای لویز-رایو و همکاران (López-Rayó *et al.*, 2017) رهاسازی Zn از ترکیب Mg-Zn-Fe-LDH را به منظور

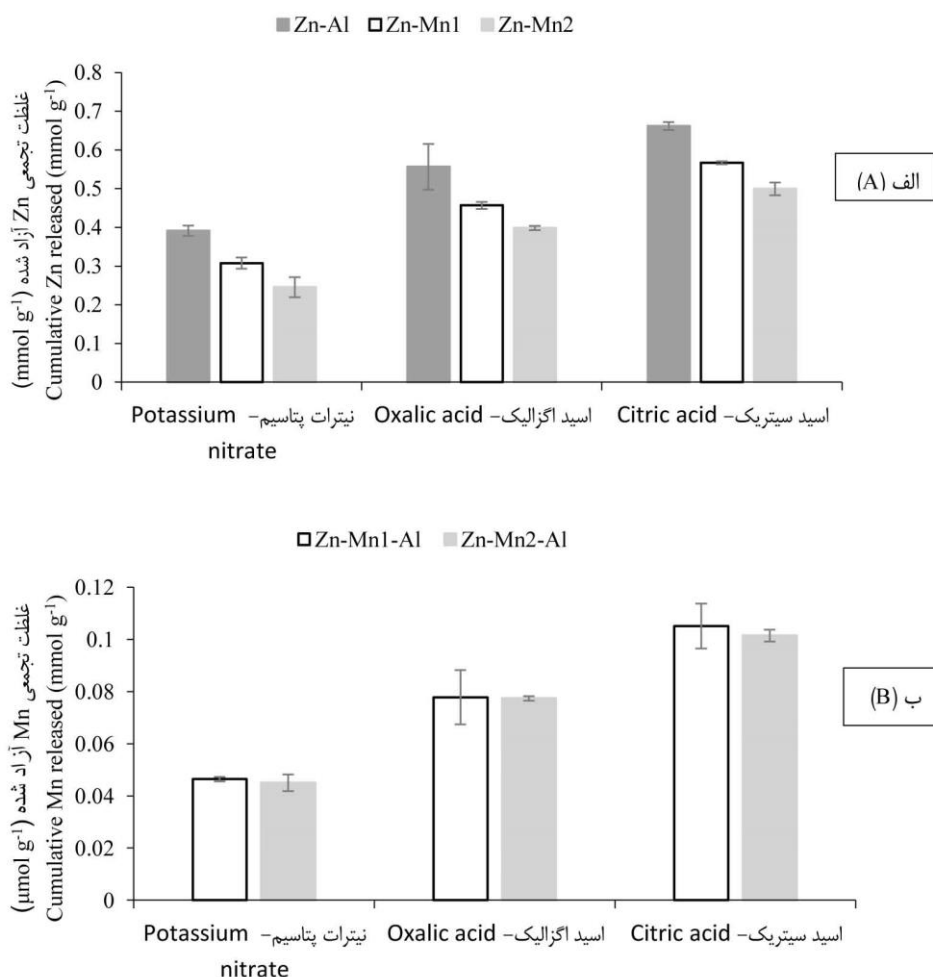
بالاتر بودن مقادیر واجذب در اسید سیتریک می‌تواند به تفاوت ساختار شیمیایی آن با اسید اگزالیک نسبت داده شود (Shafiqh *et al.*, 2019). به عبارت دیگر اسید سیتریک با وجود سه گروه عاملی کربوکسیل در مقایسه با اسید اگزالیک که شامل دو گروه عاملی است، قادر به تشکیل کلات‌های بیشتری با کاتیون‌های ساختاری LDHs بوده که این امر خود موجب افزایش احتمال انحلال بخشی از LDHs و در نتیجه واجذب بیشتر B می‌گردد.

متفاوت بودن مقدار واجذب در LDHs با توجه به نوع محلول زمینه در مطالعه چنگ و همکاران (Cheng *et al.*, 2009) نیز گزارش شده است. علاوه‌براین، وقوع مکانیسم انحلال در LDHs سنتز شده از دیگر دلایلی است که می‌تواند در واجذب B در این پژوهش اثرگذار باشد. در این زمینه حضور غلظت‌های قابل اندازه‌گیری از کاتیون‌های ساختاری (Zn و Mn) در محلول‌های واجذب می‌تواند تاییدی بر انحلال این ترکیبات باشد که در ادامه به این موضوع پرداخته خواهد شد.

مشابه با نتایج جذب، بررسی هم‌دمای واجذب B نشان داد که معادله فرندلیچ به خوبی قادر به برازش داده‌های واجذب در هر سه ترکیب مورد مطالعه بود (جدول ۲). به‌طور کلی نتایج بررسی ۴ چرخه واجذب B از LDHs مورد بررسی نشان داد که رهاسازی B هم در حضور نیترات پتاسیم ۰/۰۳ مولار که معادل با قدرت یونی محلول خاک است و هم در حضور اسیدهای سیتریک و اگزالیک ۱/۲۵ میلی‌مولار به عنوان دو اسید آلی متداول در محیط خاک، روندی نسبتاً آهسته داشت. این روند کند رهاسازی در مطالعه کاسترو و همکاران

Zn و Mn تحت تاثیر اسید سیتریک را می‌توان به حضور سه گروه عاملی کربوکسیل در آن و در نتیجه تشکیل پیوندهای بیشتر مرتبط دانست. موثر بودن اسید سیتریک در رهاسازی Zn از ترکیب Zn-LDH Mg-Fe(III) در مطالعه شفیق و همکاران (Shafiqh *et al.*, 2019) نیز گزارش شده است. آن‌ها بیان کردند که میزان رهاسازی Zn تحت تاثیر اسید سیتریک، اسید اگزالیک و اسید تارتاریک به ترتیب ۵۲۲، ۱۲۳/۵ و ۹۷/۹ میکرومول بر گرم بود. بنابراین بر اساس نتایج به دست آمده سه ترکیب سنتز شده ماتریکس مناسبی را برای جذب و واجذب B و همچنین رهاسازی دو عنصر غذایی کم‌مصرف (Zn و Mn) در شرایط شبیه‌سازی شده محلول خاک ایجاد کردند با این وجود انجام مطالعاتی در محیط واقعی جهت نتیجه‌گیری دقیق‌تر کاملا ضروری به نظر می‌رسد.

تأمین Zn مورد نیاز گیاه جو مورد بررسی قرار دادند. نتایج این تحقیق حاکی از افزایش جذب Zn در گیاه جو به دنبال حالیت LDH تحت تاثیر ترشحات ریشه و کاهش pH منطقه ریزوسفر ریشه بود. حالیت LDHs در محیط شبیه‌سازی شده و واقعی خاک و خروج کاتیون‌های ساختاری در مطالعات حلاج‌نیا و همکاران (Halajnia *et al.*, 2016) ، شفیق و همکاران (Shafiqh *et al.*, 2019) و حاتمی همکاران (Hatami *et al.*, 2021) نیز تایید و گزارش شده است. مطابق نتایج، نوع محلول زمینه اثر معنی‌داری بر مقادیر Zn و Mn آزاد شده داشته است به نحوی که روند نیترات پتاسیم > اسید اگزالیک > اسید سیتریک برای آن قابل پیشنهاد است اما همان‌گونه که در شکل ۲ مشاهده می‌شود تغییر در نوع LDH تفاوت چندانی در مقدار Zn و Mn آزاد شده تحت تاثیر هر یک از محلول‌های زمینه ایجاد نکرده است. همان‌گونه که قبلا هم اشاره شد بزرگ‌تر بودن مقادیر رهاسازی



شکل ۲- تاثیر نیترات پتاسیم ۰/۰۳ مولار، اسید اگزالیک ۱/۲۵ میلی‌مولار و اسید سیتریک ۱/۲۵ میلی‌مولار بر رهاسازی Zn (الف) و Mn (ب) از Zn-Mn₂ و Zn-Mn₁

Figure 2- The effects of potassium nitrate, oxalic acid and citric acid on Zn (A) and Mn (B) released from Zn-Mn₁ and Zn-Mn₂

نتیجه گیری

حاکی از ناپایداری LDHs مورد مطالعه در شرایط شبیه‌سازی شده محلول خاک و در نتیجه وقوع انحلال در بخشی از ساختار این ترکیبات داشت. اگرچه در پژوهش حاضر امکان کمی‌سازی سهم هر یک از مکانیسم‌های موثر در واجذب عناصر وجود نداشت اما با توجه به اهمیت این موضوع، انجام چنین مطالعه‌ای در پژوهش‌های بعدی پیشنهاد می‌شود. موثر بودن نوع محلول زمینه بر درصد واجذب B و همچنین میزان رهاسازی کاتیون‌های Zn و Mn گواه تاثیر دو ویژگی محلول خاک یعنی قدرت یونی و حضور اسیدهای آلی با وزن مولکولی کم بر شرایط LDH در صورت کاربرد حاکی آن می‌باشد. بنابراین، اگرچه بر اساس این پژوهش به نظر می‌رسد که LDHs مورد مطالعه قادرند به طور همزمان دو و یا سه عنصر غذایی ضروری گیاه را تامین نمایند اما با توجه به تاثیر شرایط خاک بر پایداری LDHs از یک سو و کندرها بودن خروج این عناصر و عدم آگاهی از مناسب بودن تامین این عناصر در زمان نیاز گیاه از سوی دیگر، کاربرد این ترکیبات در شرایط واقعی خاک و در حضور گیاه را ضروری می‌سازد.

نتایج پژوهش حاضر نشان داد که در شرایط شبیه‌سازی شده محلول خاک نوع LDH علاوه بر جذب B در واجذب آن نیز تاثیرگذار بود. به عبارت دیگر LDHs سه تایی Zn-Mn-Al به دلیل وقوع همزمان مکانیسم‌های جذب سطحی و تبادل یونی دارای جذب بیشتری در مقایسه با Zn-Al LDH که تنها شواهدی از مکانیسم جذب سطحی را نشان داد، بودند. اما با توجه به متفاوت بودن انرژی پیوند در مکان‌های جذبی متفاوت، در حضور هر سه محلول زمینه (نیترات پتاسیم ۰/۰۳ مولار، اسید اگزالیک ۱/۲۵ میلی‌مولار و اسید سیتریک ۱/۲۵ میلی‌مولار)، LDHs سه تایی درصد واجذب B کمتری نشان دادند. کوچک بودن مقادیر واجذب به ویژه در LDHs سه تایی احتمالاً دلیلی بر رهاسازی کند آنیون B در این ترکیبات بود. هرچند به منظور اظهار نظر قطعی‌تر، انجام مطالعات سینتیک واجذب مفید و قابل پیشنهاد است. برخلاف B، نوع LDH تاثیر قابل توجهی بر رهاسازی کاتیون‌های ساختاری Zn و Mn نشان نداد. صرف‌نظر از میزان رهاسازی این کاتیون‌ها، حضور آن‌ها در عصاره‌های واجذب

منابع

1. Ay, A.N., Zumreoglu-Karan, B., & Temel, A. (2007). Boron removal by hydrotalcite-like, carbonate-free Mg-Al-NO₃-LDH and a rationale on the mechanism. *Microporous and Mesoporous Materials* 98: 1-5. <https://doi.org/10.1016/j.micromeso.2006.08.004>.
2. Ay, A.N., Zumreoglu-Karan, B., Temel, A., & Mafra, L. (2011). Layered double hydroxides with interlayer borate anions: A critical evaluation of synthesis methodology and pH-independent orientations in nano-galleries. *Applied Clay Science* 51: 308-316. <https://doi.org/10.1016/j.clay.2010.12.015>.
3. Azimzadeh, Y., Najafi, N., Reyhanitabar, A., Oustan, S., & Khataee, A. (2021). Effects of phosphate loaded LDH-biochar/hydrochar on maize dry matter and P uptake in a calcareous soil. *Archives of Agronomy and Soil Science* 67(12): 1649-1664. <https://doi.org/10.1080/03650340.2020.1802012>.
4. Benício, L.P.F., Constantino, V.R.L., Pinto, F.G., Vergütz, L., Tronto, J., & Da Costa, L.M. (2017). Layered double hydroxides: new technology in phosphate fertilizers based on nanostructured materials. *ACS Sustainable Chemistry & Engineering* 5(1): 399-409. <https://doi.org/10.1021/acssuschemeng.6b01784>.
5. Bharali, D., & Deca, R.C. (2017). Preferential adsorption of various anionic and cationic dyes from aqueous solution over ternary CuMgAl layered double hydroxide. *Colloids and Surfaces A: Physicochemical and Engineering Aspects* 525: 64-76. <http://doi.org/10.1016/j.colsurfa.2017.04.060>.
6. Cao, Y., & Guo Q. (2013). Boron removal from water using takovite: adsorption vs. anion exchange. *Advanced Materials Research* 781-784: 2150-2156. <https://doi.org/10.4028/www.scientific.net/AMR.781-784.2150>.
7. Castro, G.F., Ferreira, J.A., Eulálio, D., de Souza, S.J., Novais, S.V., Novais, R.F., Pinto, F.G., & Tronto, J. (2018). Layered double hydroxides: matrices for storage and source of boron for plant growth. *Clay Minerals* 53(01):1-27. <https://doi.org/10.1180/clm.2018.6>.
8. Cheng, X., Huang, X., Wang, X., Zhao, B., Chen, A., & Sun, D. (2009). Phosphate adsorption from sewage sludge filtrate using zinc-aluminum layered double hydroxides. *Journal of Hazardous Materials* 169: 958-964. <http://doi:10.1016/j.jhazmat.2009.04.052>.
9. Chitrakar, R., Tezuka, S., Hosokawa, J., Makita, Y., Sonoda, A., Ooi, K., & Hirotsu, T. (2010). Uptake properties of phosphate on a novel Zr-modified Mg-Fe-LDH(CO₃). *Journal of colloid and interface science* 349: 314-320. <https://doi.org/10.1016/j.jcis.2010.05.068>.
10. Delazare, T., Ferreira, L.P., Ribeiro, N.F.P., Souza, M.M.V.M., Campos, J.C., & Yokoyama, L. (2014). Removal of boron from oilfield wastewater via adsorption with synthetic layered double hydroxides. *Journal of Environmental Science and Health, Part A* 49: 923-932. <http://doi.org/10.1080/10934529.2014.893792>.
11. Essington, M.E. (2004). *Soil and Water Chemistry: An Integrative Approach*, 1st ed. CRC Press, Boca Raton,

- FL.
12. Everaert, M., Warrinnier, R., Baken, S., Gustafsson, J.P., De Vos, D.E., & Smolders, E. (2016). Phosphate exchanged Mg-Al layered double hydroxides: a new slow release phosphate fertilizer. *ACS Sustainable Chemistry and Engineering* 4(8): 4280–4287. <http://doi.org/10.1021/acssuschemeng.6b00778>.
 13. Ferreira, O.P., Moraes, S.G., Duran, N., Cornejo, L., & Alves, O.L. (2006). Evaluation of boron removal from water by hydrotalcite-like compounds. *Chemosphere* 62: 80–88. <http://doi.org/10.1016/j.chemosphere.2005.04.009>.
 14. Gao, Z., Xie, S., Zhang, B., Qiu, X., & Chen, F. (2017). Ultrathin Mg-Al layered double hydroxide prepared by ionothermal synthesis in a deep eutectic solvent for highly effective boron removal. *Chemical Engineering Journal* 319: 108–118. <https://doi.org/10.1016/j.cej.2017.03.002>.
 15. Goh, K.-H., Lim, T.T., & Dong, Z. (2008). Application of layered double hydroxides for removal of oxyanions: A review. *Water Research* 42: 1343–1368. <http://doi.org/10.1016/j.watres.2007.10.043>.
 16. Goh, K.H., Lim, T.T., Banas, A., & Dong, Z. (2010). Sorption characteristics and mechanisms of oxyanions and oxyhalides having different molecular properties on Mg/Al layered double hydroxide nanoparticles. *Journal of Hazardous Materials* 179: 818–827. <https://doi.org/10.1016/j.jhazmat.2010.03.077>.
 17. Guo, Q., Zhang, Y., Cao, Y., Wang, Y., & Yan, W. (2013). Boron sorption from aqueous solution by hydrotalcite and its preliminary application in geothermal water deboronation. *Environmental Science and Pollution Research* 20: 8210–8219. <https://doi.org/10.1007/s11356-013-1796-5>.
 18. Halajnia, A., Oustan, S., Najafi, N., Khataee, A.R., & Lakzian, A. (2016). Effects of Mg-Al layered double hydroxide on nitrate leaching and nitrogen uptake by maize in a calcareous soil. *Communications in Soil Science and Plant Analysis* 47: 1162–1175. <http://doi.org/10.1080/00103624.2016.1165825>.
 19. Hatami, H., Fotovat, A., & Halajnia, A. (2018). Comparison of adsorption and desorption of phosphate on synthesized Zn-Al LDH by two methods in a simulated soil solution. *Applied Clay Science* 152: 333–341. <http://doi.org/10.1016/j.clay.2017.11.032>.
 20. Hatami, H., Fotovat, A., & Halajnia, A. (2020). Adsorption of Boron from a Simulated Soil Solution Using Zn-Al and Mn-Doped Zn-Al Layered Double Hydroxides. *Colloid Journal* 82(6): 735–745. <http://doi.org/10.1134/S1061933X20060058>.
 21. Hatami, H., Fotovat, A., & Halajnia, A. (2021). Availability and Uptake of Phosphorus and Zinc by Maize in the Presence of Phosphate-Containing Zn-Al-LDH in a Calcareous Soil. *Eurasian Soil Science* 54(3): 431–440. <http://doi.org/10.1134/S1064229321030066>.
 22. Inayat, A., Klumpp, M., & Schwieger, W. (2011). The urea method for the direct synthesis of ZnAl layered double hydroxides with nitrate as the interlayer anion. *Applied Clay Science* 51: 452–459. <http://doi.org/10.1016/j.clay.2011.01.008>.
 23. Jiang, J.-Q., Xu, Y., Quill, K., Simon, J., & Shettle, K. (2007). Laboratory Study of Boron Removal by Mg/Al Double-Layered Hydroxides. *Industrial & Engineering Chemistry Research* 46: 4577–4583.
 24. Kameda, T., Oba, J., & Yoshioka, T. (2015). New treatment method for boron in aqueous solutions using Mg-Al layered double hydroxide: Kinetics and equilibrium studies. *Journal of Hazardous Materials* 293: 54–63. <http://doi.org/10.1016/j.jhazmat.2015.03.015>.
 25. López-Rayo, S., Imran, A., Hansen, H.C.B., Schjoerring, J., & Magid, J. (2017). Layered double hydroxides: potential release-on-demand fertilizers for plant zinc nutrition. *Journal of Agricultural and Food Chemistry* 65(40): 8779–8789. <http://doi.org/10.1021/acs.jafc.7b02604>.
 26. Novillo, C., Guaya, D., Allen-Perkins Avenqiudaño, A., Armijos, C., Cortina, J.L., & Cota, I. (2014). Evaluation of phosphate removal capacity of Mg/Al layered double hydroxides from aqueous solutions. *Fuel* 138: 72–79. <http://doi.org/10.1016/j.fuel.2014.07.010>.
 27. Shafiq, M., Hamidpour, M., & Furrer, G. (2019). Zinc release from Zn-Mg-Fe(III)-LDH intercalated with nitrate, phosphate and carbonate: The effects of low molecular weight organic acids. *Applied Clay Science* 170: 135–142. <https://doi.org/10.1016/j.clay.2019.01.016>.
 28. Songkhum, P., Wuttikhun, T., Chanlek, N., Khemthong, P., & Laohasurayotin, K. (2018). Controlled release studies of boron and zinc from layered double hydroxides as the micronutrient hosts for agricultural application. *Applied Clay Science* 152: 311–322. <https://doi.org/10.1016/j.clay.2017.11.028>.
 29. Woo, M.A., Kim, T.W., Paek, M., Ha, H., Choy, J., & Hwang, S. (2011). Phosphate-intercalated Ca-Fe-layered double hydroxides: Crystal structure, bonding character, and release kinetics of phosphate. *Journal of Solid State Chemistry* 184: 171–176. <https://doi.org/10.1016/j.jssc.2010.11.003>.
 30. Zhang, H., & Selim, H.M. (2005). Kinetics of arsenate adsorption-desorption in soils. *Environmental Science & Technology* 39: 6101–6108. <https://doi.org/10.1021/es050334u>.